

บทที่ 4

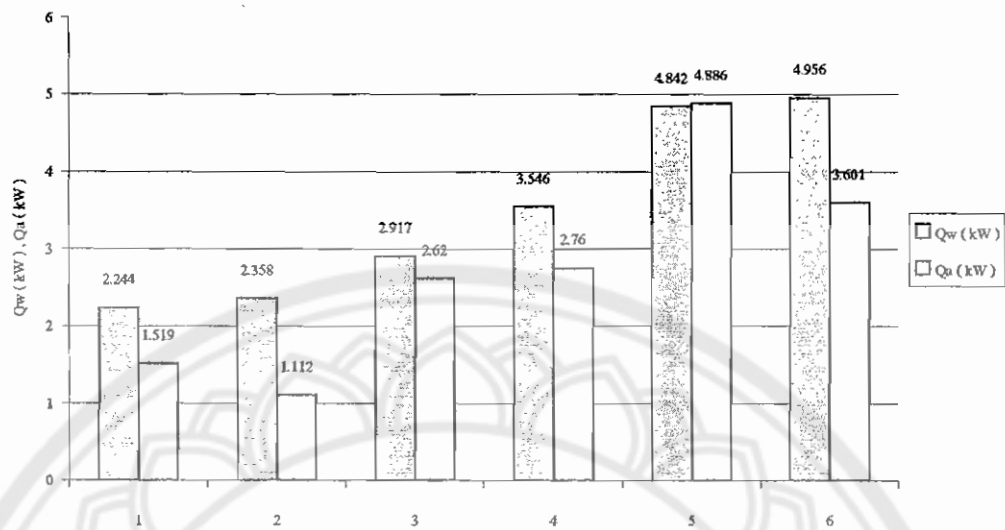
ผลการทดลองและผลการวิเคราะห์

ตารางบันทึกผลการทดลอง

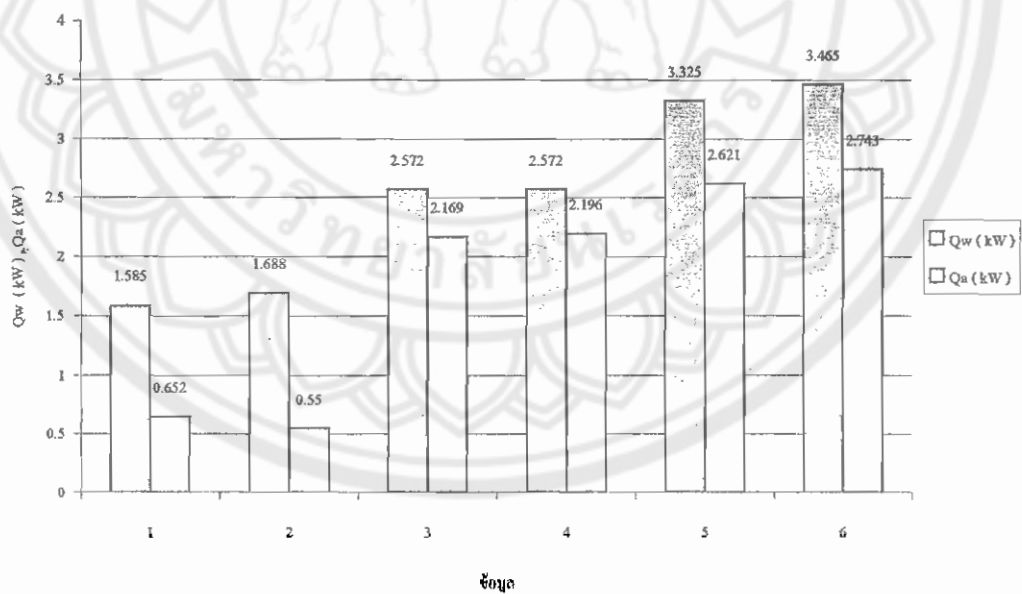
อัตราการไหล ของน้ำ (L/s)	ข้อมูล ที่	ผลต่างความดัน จาก Manometer	อุณหภูมิน้ำ(C)		อุณหภูมิอากาศ(C)			
			เข้า	ออก	เข้า		ออก	
(Q_w)		(mmH ₂ O)	t_{wi}	t_{wo}	CWB	CDB	CWB	CDB
1/11.0	1	2.5	33.9	28	26	31.1	26.7	31
	2	4.1	33.9	27.7	26	32.1	26.4	39.7
	3	2.5	37.9	29.2	26	32.2	27.2	31.6
	4	4.05	37.9	28.6	26	32.2	27	30
	5	2.5	42.8	30.1	26	32	28.2	31.9
	6	4	42.4	29.4	26	32	27.3	30.3
1/16.17	1	2.5	34	27.9	26	32.2	26.3	31.2
	2	4	34	27.5	26	32.3	26.2	30.2
	3	2.5	38.5	28.6	26	32.9	27	31.7
	4	4	38	28.1	26	32.3	26.8	30.9
	5	2.5	42.3	29.5	26	33	27.2	32.1
	6	4	42.3	29	26	33	27	31.5

ตารางบันทึกผลการคำนวณ

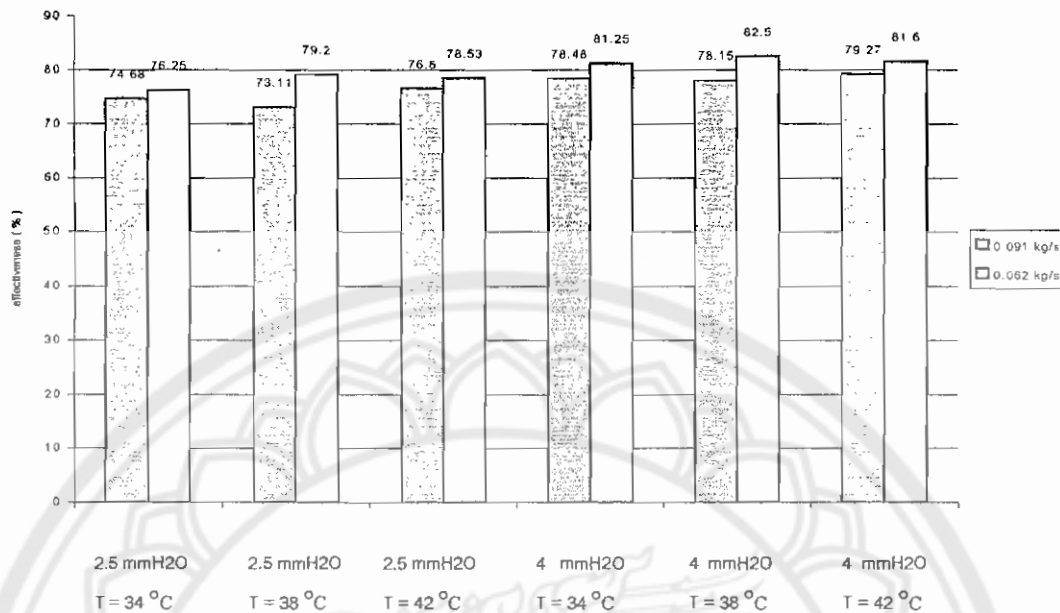
อัตราการไหลของน้ำ	ข้อมูล	เอนทาลปีของน้ำที่อากาศเข้า	เอนทาลปีของอากาศเข้า	เอนทาลปีของอากาศออก	ปริมาณอากาศออก	เอนทาลปีของน้ำเข้า	เอนทาลปีของน้ำออก	อัตราการไหลของน้ำ	อัตราการไหลของอากาศ	อัตราการถ่ายเทความร้อน	อัตราการถ่ายเทความร้อนอากาศ	ประสิทธิภาพการถ่ายเทความร้อน
Q_w		h_{wai}	h_{ai}	h_{ao}	v	h_{wi}	h_{wo}	Q_w	Q_a	Q_w	Q_a	ϵ
(L/s)		(kJ/kg)	(kJ/kg)	(kJ/kg)	(m ³ /kg)	(kJ/kg)	(kJ/kg)	(kg/s)	(kg/s)	(kW)	(kW)	(%)
1/11.0	1	108.95	80.777	83.917	0.8797	141.962	117.310	0.091	0.4838	2.244	1.519	74.68
	2	108.95	80.777	82.571	0.8782	141.962	116.056	0.091	0.6201	2.358	1.112	78.48
	3	108.95	80.777	86.201	0.8821	158.673	122.320	0.091	0.4832	2.917	2.62	73.11
	4	108.95	80.777	85.263	0.8811	159.090	119.815	0.091	0.6153	3.546	2.76	78.15
	5	108.95	80.777	90.932	0.8870	178.854	126.078	0.091	0.4818	4.842	4.886	76.6
	6	108.95	80.777	86.670	0.8826	177.082	123.155	0.091	0.611	4.956	3.601	79.27
1/16.17	1	108.95	80.777	82.123	0.8777	142.380	116.892	0.062	0.4844	1.585	0.652	76.25
	2	108.95	80.777	81.674	0.8773	142.380	115.220	0.062	0.6128	1.688	0.55	81.25
	3	108.95	80.777	85.263	0.8811	161.180	119.815	0.062	0.4834	2.572	2.169	79.2
	4	108.95	80.777	84.366	0.8802	158.673	117.730	0.062	0.6118	2.572	2.196	82.5
	5	108.95	80.777	86.201	0.8821	176.639	123.570	0.062	0.4832	3.325	2.621	78.53
	6	108.95	80.777	85.263	0.8811	176.639	121.485	0.062	0.6115	3.465	2.743	81.6



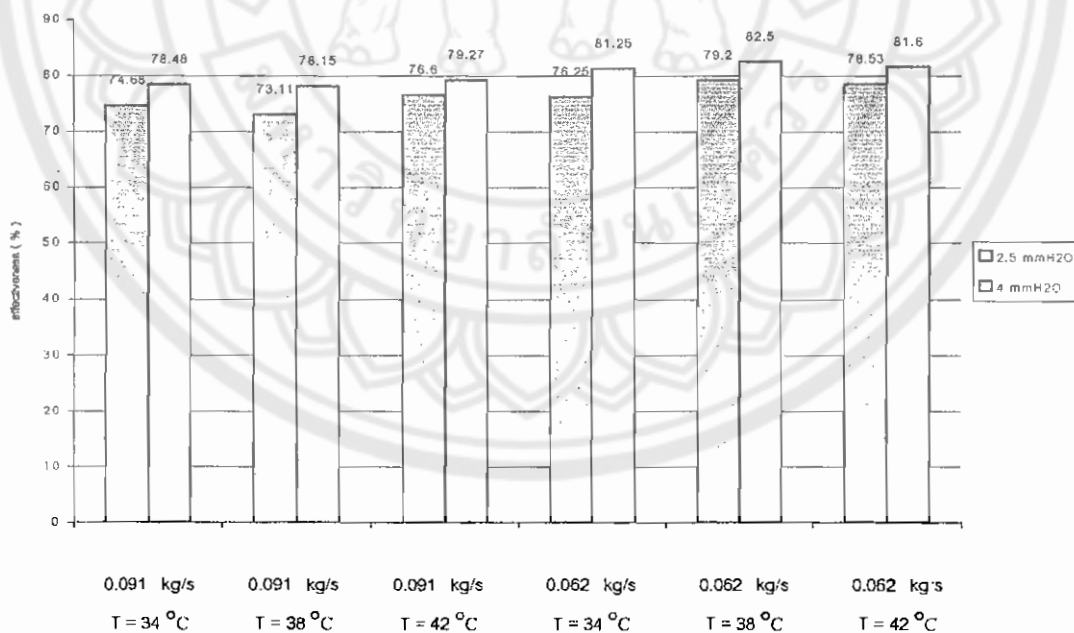
กราฟที่ 1 แสดงค่า Q_w และ Q_a กับข้อมูล ที่อัตราการไหลน้ำ 0.091 kg/s



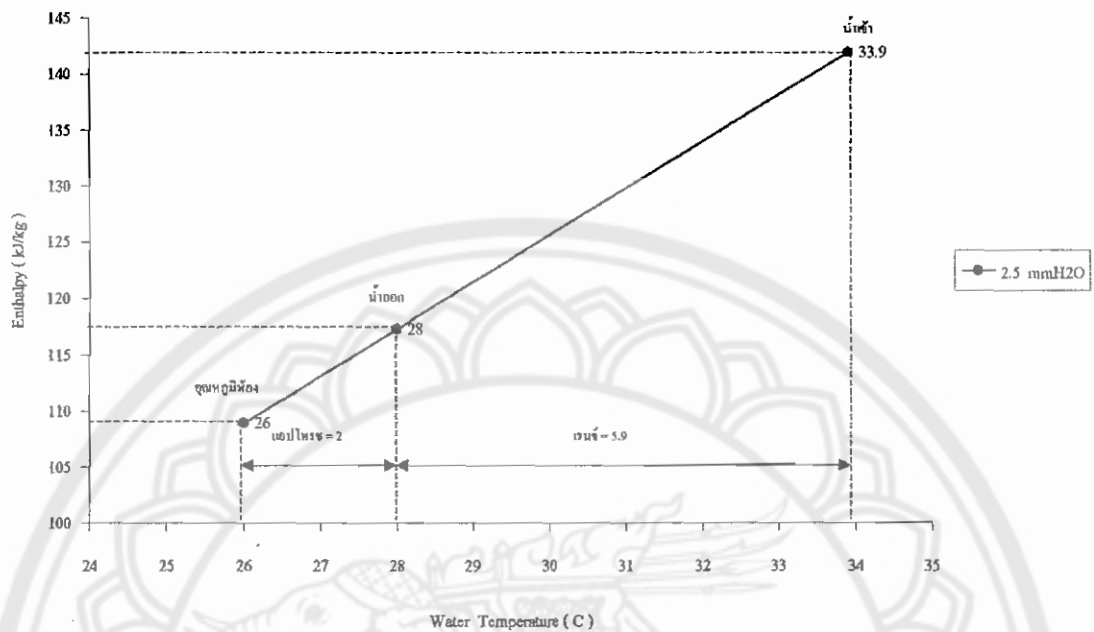
กราฟที่ 2 แสดงค่า Q_w และ Q_a กับข้อมูล ที่อัตราการไหลน้ำ 0.062 kg/s



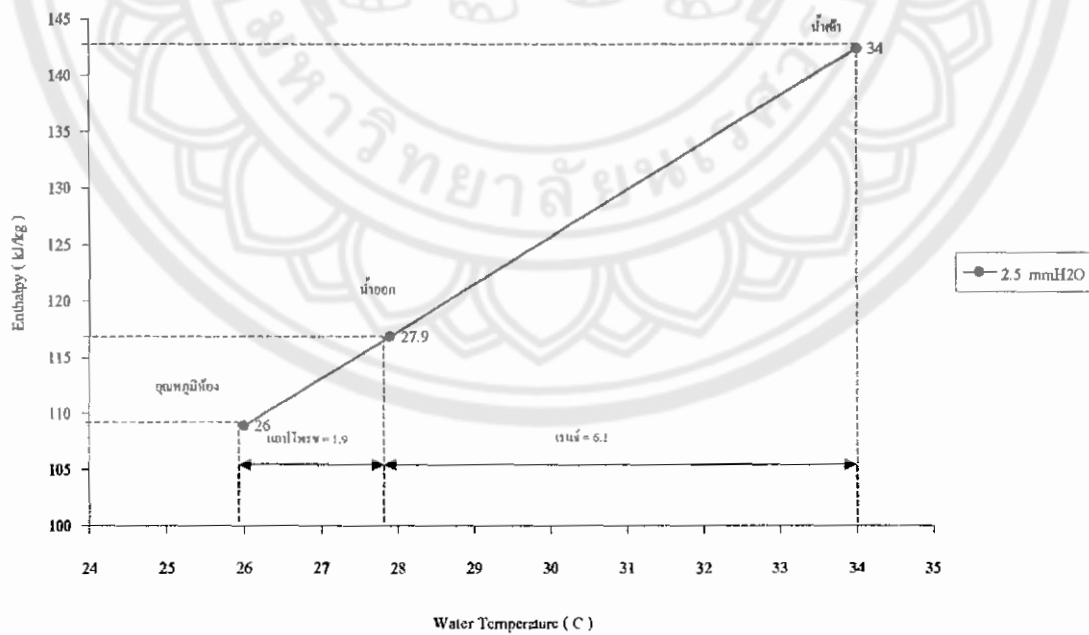
กราฟที่ 3 แสดงการเปรียบเทียบค่าประสิทธิผลของผลต่างความดัน 2.5 mmH₂O กับ 4 mmH₂O



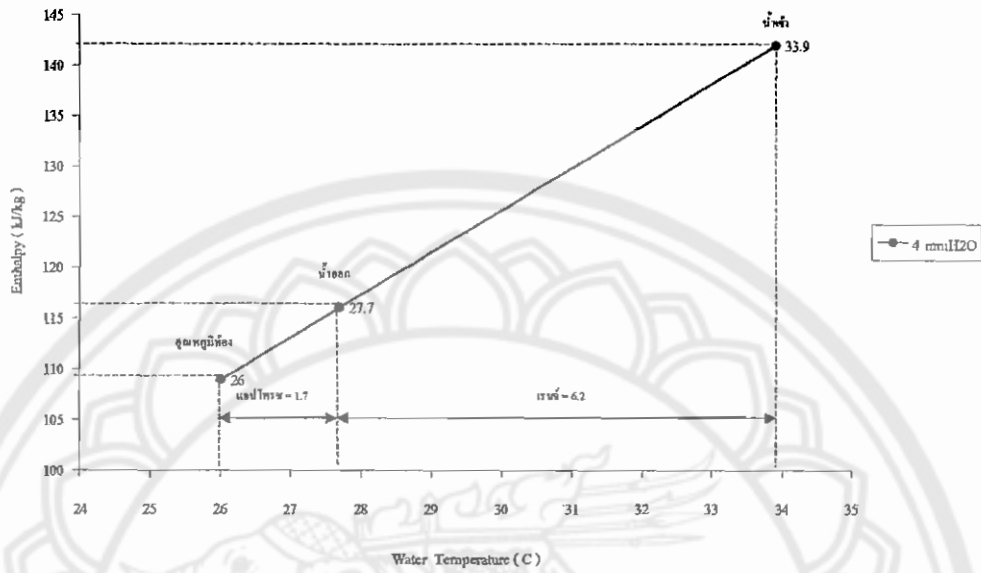
กราฟที่ 4 แสดงการเปรียบเทียบค่าประสิทธิผลของอัตราการไหลน้ำ 0.091 kg/s กับ อัตราการไหลน้ำ 0.062 kg/s



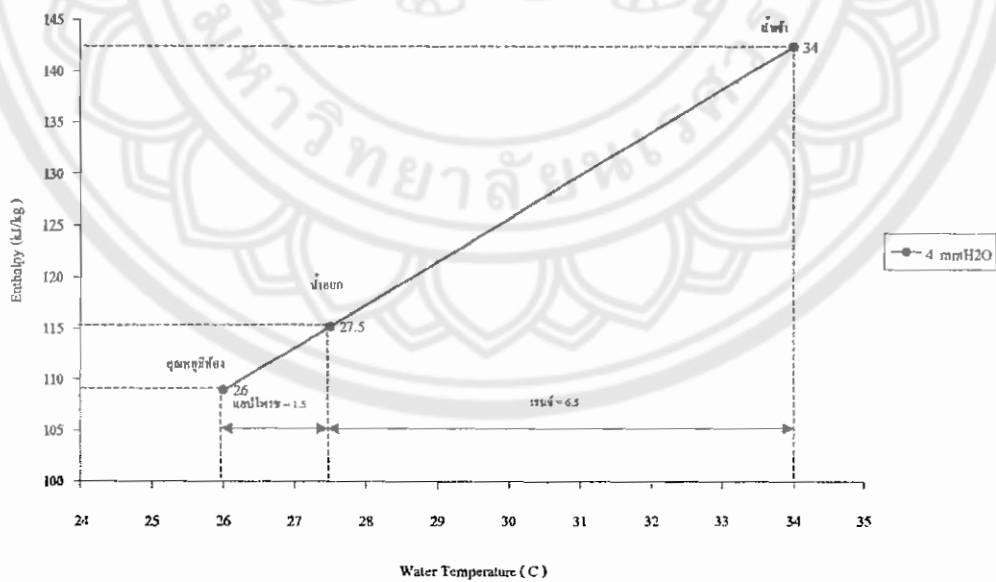
กราฟที่ 5 แสดงความสัมพันธ์ระหว่างเอนทัลปีกับอุณหภูมิน้ำ (น้ำเข้า 34 °C)
ที่อัตราการไหลของน้ำ 0.091 kg/s



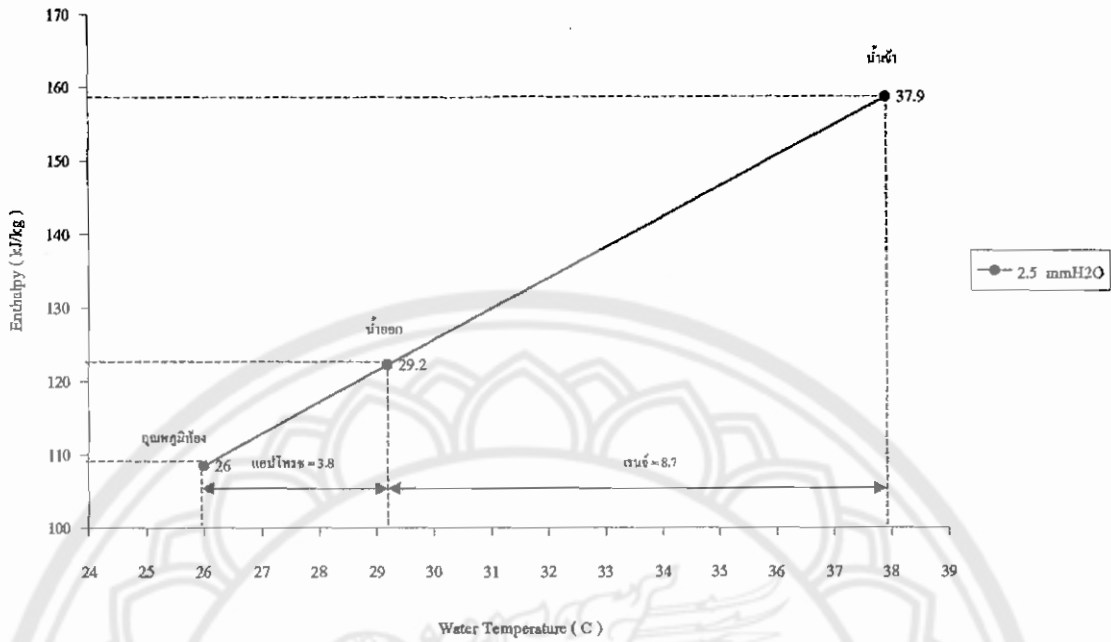
กราฟที่ 6 แสดงความสัมพันธ์ระหว่างเอนทัลปีกับอุณหภูมิน้ำ (น้ำเข้า 34 °C)
ที่อัตราการไหลของน้ำ 0.062 kg/s



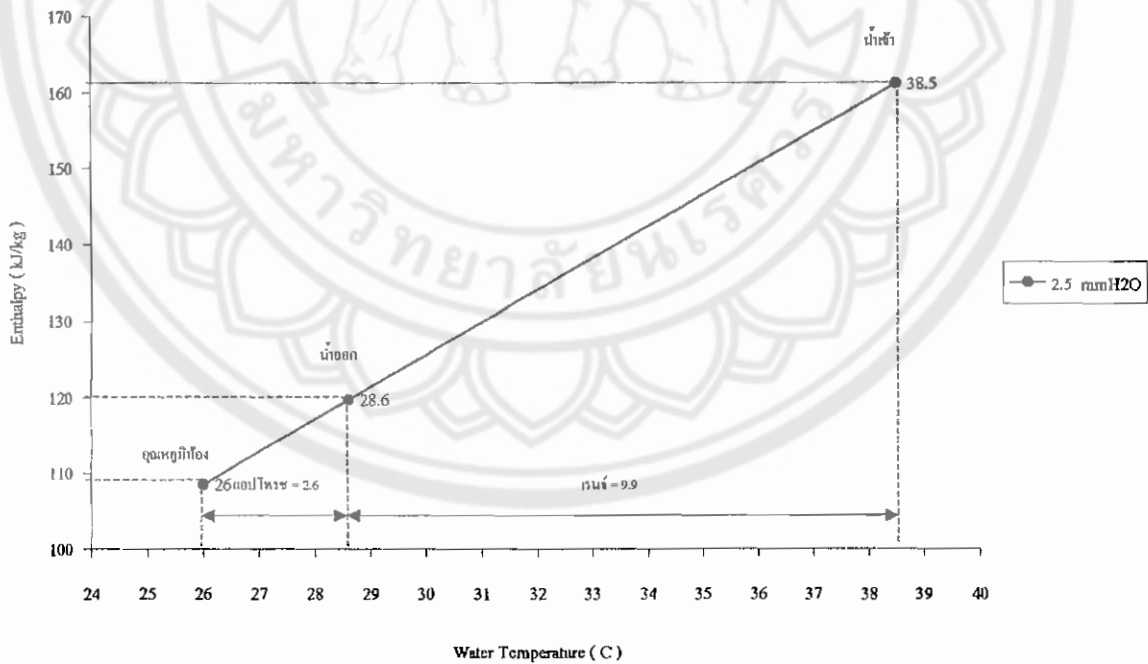
กราฟที่ 7 แสดงความสัมพันธ์ระหว่างเอนทัลปีกับอุณหภูมิน้ำ (น้ำเข้า 34 °C) ที่อัตราไหลของน้ำ 0.091 kg/s



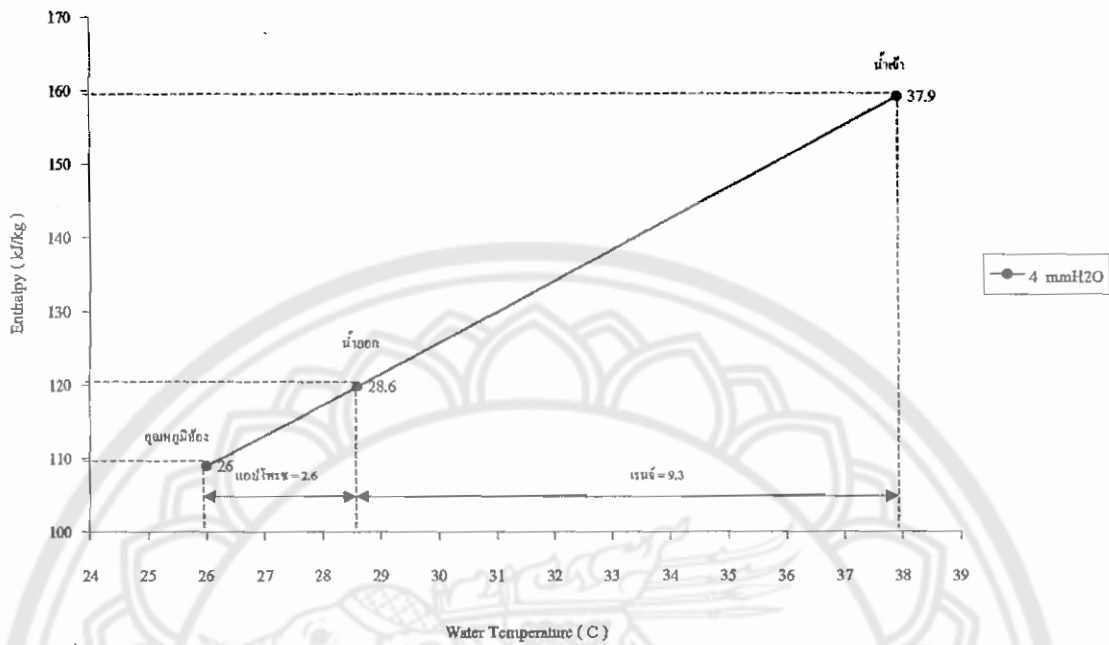
กราฟที่ 8 แสดงความสัมพันธ์ระหว่างเอนทัลปีกับอุณหภูมิน้ำ (น้ำเข้า 34 °C) ที่อัตราไหลของน้ำ 0.062 kg/s



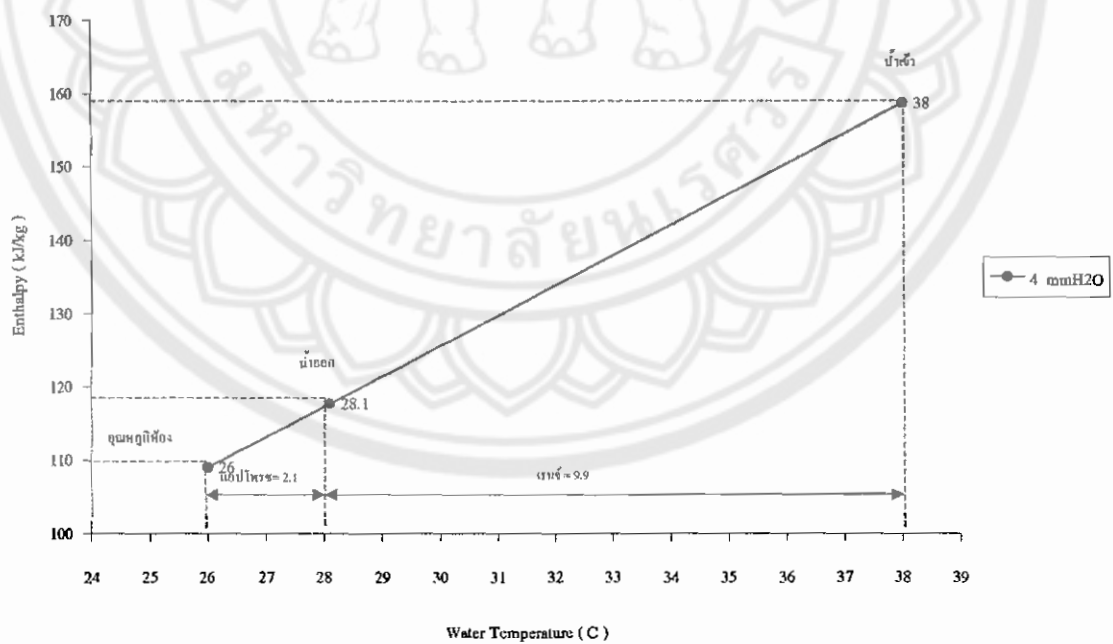
กราฟที่ 9 แสดงความสัมพันธ์ระหว่างเอนทัลปีกับอุณหภูมิน้ำ (น้ำเข้า 38 °C) ที่อัตราไหลของน้ำ 0.091 kg/s



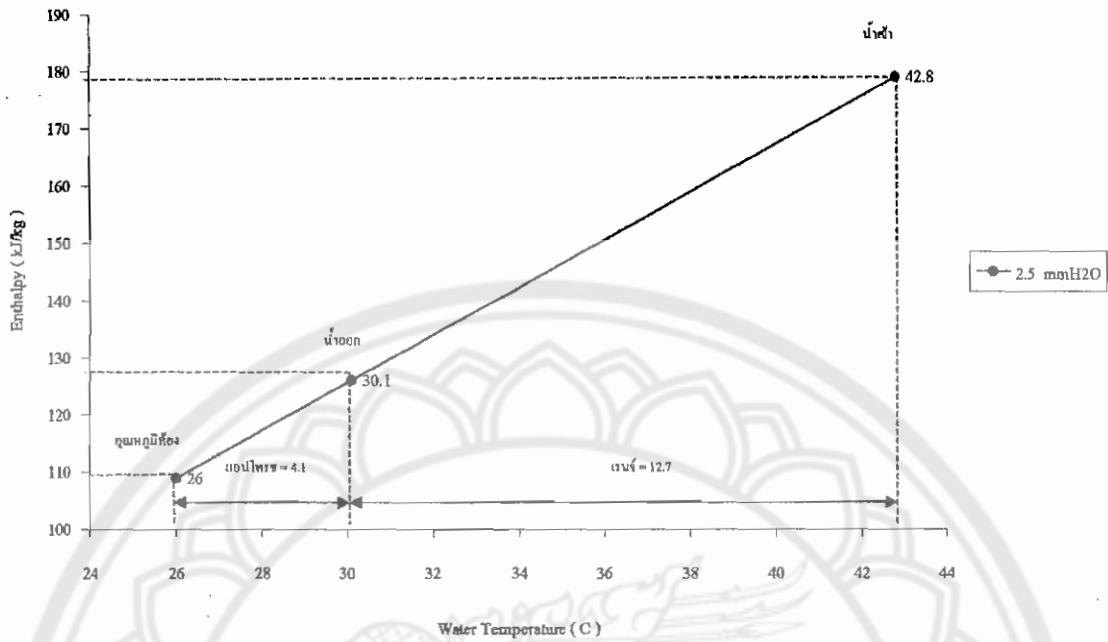
กราฟที่ 10 แสดงความสัมพันธ์ระหว่างเอนทัลปีกับอุณหภูมิน้ำ (น้ำเข้า 38 °C) ที่อัตราไหลของน้ำ 0.062 kg/s



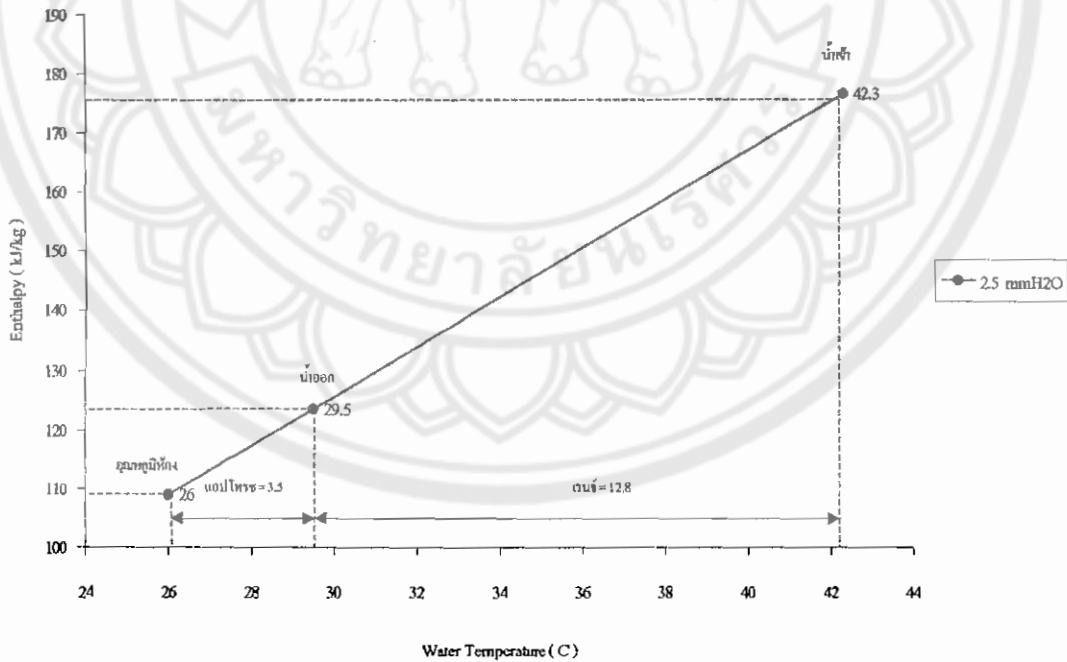
กราฟที่ 11 แสดงความสัมพันธ์ระหว่างเอนทัลปีกับอุณหภูมิน้ำ (น้ำเข้า 38 °C)
ที่อัตราการไหลของน้ำ 0.091 kg/s



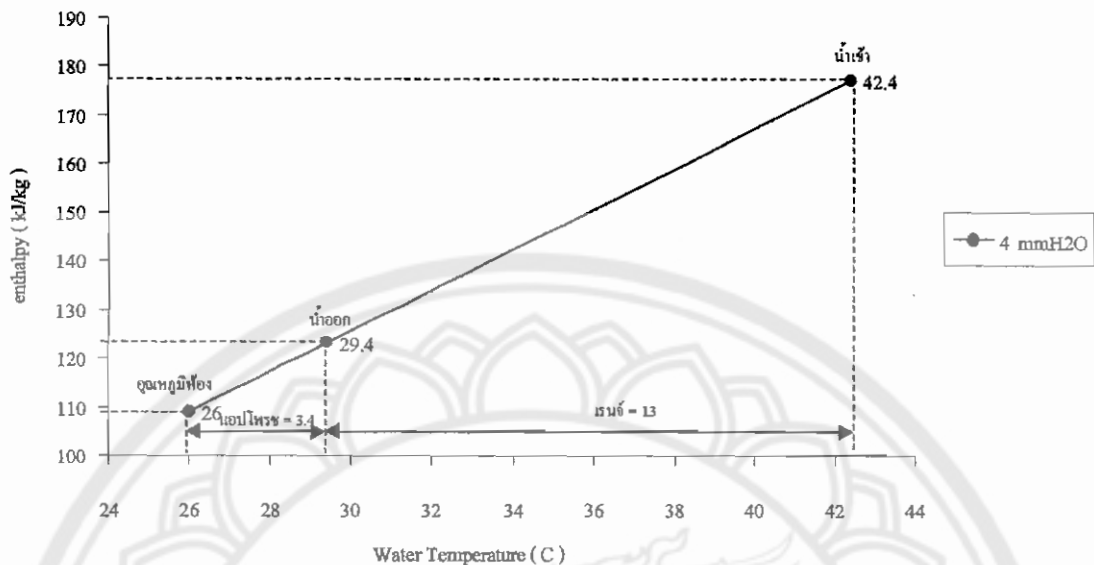
กราฟที่ 12 แสดงความสัมพันธ์ระหว่างเอนทัลปีกับอุณหภูมิน้ำ (น้ำเข้า 38 °C)
ที่อัตราการไหลของน้ำ 0.062 kg/s



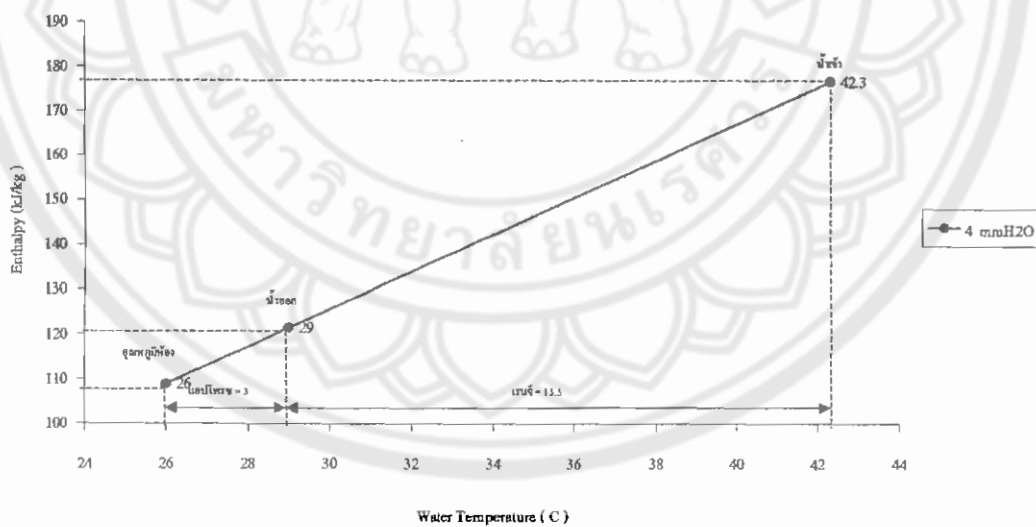
กราฟที่ 13 แสดงความสัมพันธ์ระหว่างเอนทัลปีกับอุณหภูมิน้ำ (น้ำเข้า 42 °C)
ที่อัตราไหลของน้ำ 0.091 kg/s



กราฟที่ 14 แสดงความสัมพันธ์ระหว่างเอนทัลปีกับอุณหภูมิน้ำ (น้ำเข้า 42 °C)
ที่อัตราไหลของน้ำ 0.062 kg/s



กราฟที่ 15 แสดงความสัมพันธ์ระหว่างเอนทัลปีกับอุณหภูมิน้ำ (น้ำเข้า 42 °C)
ที่อัตราไหลของน้ำ 0.091 kg/s



กราฟที่ 16 แสดงความสัมพันธ์ระหว่างเอนทัลปีกับอุณหภูมิน้ำ (น้ำเข้า 42 °C)
ที่อัตราไหลของน้ำ 0.062 kg/s

4.1 การคำนวณอัตราการไหลของน้ำ

จากตารางบันทึกผลการทดลอง ที่อัตราการไหลของน้ำ (Q_w) เท่ากับ

$$1/11.0 \text{ L/s} = 0.091 \cdot 10^{-3} \text{ m}^3/\text{s}$$

$$\begin{aligned} \text{จากสมการ} \quad \dot{m}_w &= \rho Q_w \\ &= 1000 (0.091 \cdot 10^{-3}) \text{ kg/s} \\ &= 0.091 \text{ kg/s} \end{aligned}$$

4.2 การคำนวณอัตราการไหลของอากาศ

การคำนวณค่า discharge coefficient (C)

จากสมการที่ 2.15

$$V_2 = \frac{1}{[1 - (A_2/A_1)^2]^{1/2}} [2g_c (p_1 - p_2)/\rho]^{1/2} \quad (4.1)$$

เมื่อ $D_1 = 22 \text{ in} = 0.559 \text{ m}$ จะได้ $A_1 = (\pi/4) D_1^2 = 0.245 \text{ m}^2$

$D_2 = 13.2 \text{ in} = 0.335 \text{ m}$ จะได้ $A_2 = (\pi/4) D_2^2 = 0.088 \text{ m}^2$

$P_1 - P_2 =$ ผลต่างความดันของ Orifice (Pa)

$$= 9.81h_s$$

$h_s =$ ผลต่างความดันจากมานอมิเตอร์ (mmH₂O)

$$1 \text{ mmH}_2\text{O} = 9.81 \text{ Pa}$$

$g_c =$ Conversion factor

$$= 1.0 \text{ kg} \cdot \text{m}/(\text{N} \cdot \text{s}^2)$$

$\rho =$ Density of air (kg/m³) = 1/V

$V =$ Specific volume (m³/kg)

แทนค่าในสมการจะได้

$$V_2 = 4.748 [h_s/\rho]^{1/2} \quad (4.2)$$

หรือ $V_2 = 4.748 [h_s V]^{1/2} \quad (4.3)$

จากสมการ $Re = VD/V \quad (4.4)$

เมื่อ $Re =$ Reynold's number

$V =$ ความเร็วของอากาศ (m/s)

$D =$ เส้นผ่านศูนย์กลางท่อ (m)

$V =$ Kinematic viscosity of air (m²/s)

จากสมการที่ 2.18

$$C_d = \frac{C}{[1-(A_2/A_1)^2]^{1/2}}$$

แทนค่า A_1 และ A_2 จะได้

$$C = 0.933C_d \quad (4.5)$$

$$\text{และ } D_2/D_1 = 0.335/0.559 = 0.6$$

จากการทดลอง Outlet air อยู่ในช่วง 20–30 CWB

จากตารางที่ 3 และ ตารางที่ 4

$$\text{ที่ 20 CWB, } U = 0.8498 \text{ m}^3/\text{kg}, V = 14.8134 \cdot 10^{-6} \text{ m}^2/\text{s}$$

$$\text{ที่ 27 CWB, } U = 0.8811 \text{ m}^3/\text{kg}, V = 15.68 \cdot 10^{-6} \text{ m}^2/\text{s}$$

$$\text{ที่ 30 CWB, } U = 0.8961 \text{ m}^3/\text{kg}, V = 15.9848 \cdot 10^{-6} \text{ m}^2/\text{s}$$

อัตราการไหลสูงสุดจากการทดลอง $h_s = 4 \text{ mmH}_2\text{O}$

$$\text{ที่ 20 CWB, } V_2 = 4.748 [4 \cdot 0.8498]^{1/2} = 8.75 \text{ m/s}$$

$$Re = (8.75 \cdot 0.335) / 14.8134 \cdot 10^{-6} = 197,878.27$$

จากรูปที่ 2.25 อ่านค่า $C_d \cong 0.655$

$$C = 0.933 \cdot 0.655 = 0.611$$

$$\text{ที่ 27 CWB, } V_2 = 4.748 [4 \cdot 0.8811]^{1/2} = 8.91 \text{ m/s}$$

$$Re = (8.91 \cdot 0.335) / 15.68 \cdot 10^{-6} = 190,319.06$$

จากรูปที่ 2.25 อ่านค่า $C_d \cong 0.655$

$$C = 0.933 \cdot 0.655 = 0.611$$

$$\text{ที่ 30 CWB, } V_2 = 4.748 [4 \cdot 0.8961]^{1/2} = 9.0 \text{ m/s}$$

$$Re = (9.0 \cdot 0.335) / 15.9848 \cdot 10^{-6} = 188,616.69$$

จากรูปที่ 2.25 อ่านค่า $C_d \cong 0.655$

$$C = 0.933 \cdot 0.655 = 0.611$$

ดังนั้นจึงได้ค่า $C = 0.611$

จากสมการที่ 2.17

$$Q_{\text{Actual}} = \frac{CA_2}{[1-(A_2/A_1)^2]^{1/2}} [2g_c(p_1-p_2)/\rho]^{1/2}$$

$$Q_{\text{Actual}} = 0.611 \cdot 0.088 \cdot 4.748 [h_s/\rho]^{1/2}$$

$$= 0.287 [h_s/\rho]^{1/2} \quad (4.6)$$

$$Q_{Actual} = 0.287[h_s V]^{1/2} \quad (4.7)$$

จาก $m_a^\bullet = \rho Q_a$ (4.8)

เมื่อ $m_a^\bullet =$ อัตราการไหลของอากาศ (kg/s)

จากสมการ 4.6 แทนค่าในสมการ 4.8 จะได้

$$m_a^\bullet = 0.287\rho[h_s/\rho]^{1/2}$$

$$= 0.287[\rho h_s]^{1/2}$$

$$m_a^\bullet = 0.287[h_s/V]^{1/2}$$

ดังนั้นเราจะใช้ค่า

$$m_a^\bullet = 0.287[h_s/V]^{1/2} \quad (4.9)$$

จากตารางบันทึกผลการทดลอง ข้อมูลที่ 1 ที่อัตราการไหลของน้ำเท่ากับ 1 ลิตรต่อ 11 วินาที อุณหภูมิอากาศออก 26.7 °C และผลต่างความดันจาก Manometer $h_s = 2.5 \text{ mmH}_2\text{O}$ เปิดตารางที่ 3 และประมาณค่า V ได้เท่ากับ $0.8797 \text{ m}^3/\text{kg}$ แทนค่าในสมการที่ 4.9

$$\begin{aligned} m_a^\bullet &= 0.287[h_s/V]^{1/2} \\ &= 0.287[2.5/0.8797]^{1/2} \\ &= 0.4838 \text{ kg/s} \end{aligned}$$

4.3 การคำนวณอัตราการถ่ายเทความร้อนของน้ำ

จากตารางบันทึกผลการทดลอง ที่อัตราการไหลของน้ำ 1 ลิตร ต่อ 11 วินาที ข้อมูลที่ 1

$$m_w^\bullet = 0.091 \text{ kg/s}, t_{wi} = 33.9 \text{ }^\circ\text{C}, t_{wo} = 28 \text{ }^\circ\text{C} \text{ และค่า } C_{pw} = 4.19 \text{ kJ/kg-K}$$

แทนค่าในสมการที่ 2.9

$$\begin{aligned} Q_w^\bullet &= m_w^\bullet C_{pw} (t_{wi} - t_{wo}) \\ &= 0.091 * 4.19 (33.9 - 28) \\ &= 2.244 \text{ kW} \end{aligned}$$

4.4 การคำนวณอัตราการถ่ายเทความร้อนของอากาศ

จากตารางบันทึกผลการทดลอง ที่อัตราการไหลของน้ำ 1 ลิตร ต่อ 11 วินาที ข้อมูลที่ 1
 $\dot{m}_a = 0.4838 \text{ kg/s}$, อุณหภูมิอากาศเข้า = 26 CWB, อุณหภูมิอากาศออก = 26.7 CWB

จากตารางที่ 3 ที่ 26 CWB จะได้ค่า Enthalpy = 80.777 kJ/kg

ที่ 26.7 CWB จะได้ค่า Enthalpy = 83.917 kJ/kg

แทนค่าในสมการที่ 2.8

$$\begin{aligned} \dot{Q}_a &= \dot{m}_a (h_{a_o} - h_{a_i}) \\ &= 0.4838 * (83.917 - 80.777) \\ &= 1.519 \text{ kW} \end{aligned}$$

4.5 การคำนวณประสิทธิภาพการถ่ายเทความร้อน

จากตารางบันทึกผลการทดลอง ที่อัตราการไหลของน้ำ 1 ลิตร ต่อ 11 วินาที ข้อมูลที่ 1
 อุณหภูมิอากาศเข้า = 26 CWB, อุณหภูมิอากาศออก = 26.7 CWB, $t_{wi} = 33.9 \text{ }^{\circ}\text{C}$, $t_{wo} = 28 \text{ }^{\circ}\text{C}$

แทนค่าในสมการที่ 2.10

$$\begin{aligned} \varepsilon &= (t_{wi} - t_{wo}) / (t_{wi} - t_{wbi}) \\ &= (33.9 - 28) / (33.9 - 26) \\ &= 0.7486 \\ &= 74.86 \% \end{aligned}$$

4.6 วิเคราะห์ผลการทดลอง

4.6.1 จากตารางผลการทดลอง เปรียบเทียบที่อัตราการไหลของน้ำ 0.091 kg/s และที่ 0.062 kg/s จะเห็นว่าค่าประสิทธิภาพการถ่ายเทความร้อนของ Cooling Tower ที่อัตราการไหลของน้ำ 0.091 kg/s มีค่าน้อยกว่าที่อัตราการไหล 0.062 kg/s ซึ่งแสดงให้เห็นว่า ถ้าอัตราการไหลของน้ำมีค่าน้อย สัดส่วนระหว่างมวลอากาศต่อมวลน้ำจะมีค่ามากทำให้ความร้อนจากน้ำถ่ายเทให้กับอากาศได้มากด้วย แต่ถ้าอัตราการไหลของน้ำน้อยมากจนน้ำไม่กระจาย การถ่ายเทความร้อนก็จะไม่ดีดังนั้นค่าอัตราการไหลของน้ำต้องเป็นค่าที่เหมาะสมซึ่งในที่นี้มีค่าประมาณ 0.062 kg/s

- 4.6.2 เปรียบเทียบผลต่างความดันจากมานอมิเตอร์ พบว่าที่ผลต่างความดันมีค่าเท่ากับ 4 mmH₂O จะทำให้ประสิทธิภาพการถ่ายเทความร้อนของ Cooling Tower มีค่าสูงกว่าผลต่างความดันที่ 2.5 mmH₂O เนื่องจากเมื่อเราปรับให้อุณหภูมิอากาศเพิ่มมากขึ้น ทำให้มีอากาศมากพอที่จะแลกเปลี่ยนความร้อนกับน้ำได้ดี
- 4.6.3 จากกราฟแสดง Q_w , Q_a และ \mathcal{E} จะเห็นได้ว่าอัตราการถ่ายเทความร้อนของน้ำ มีค่ามากกว่าอัตราการถ่ายเทความร้อนของอากาศ ซึ่งแสดงว่าค่าความร้อนที่น้ำถ่ายออกมาไม่ได้ถ่ายเทให้กับอากาศทั้งหมด แต่จะมีการถ่ายเทให้กับสิ่งแวดล้อมรอบข้างด้วยบางส่วน เช่น ถ่ายเทให้กับโครงตัวถังที่เป็นเหล็ก พลาสติก เป็นต้น และมวลน้ำที่ใช้ในการคำนวณไม่ใช่มวลที่แท้จริงที่ถ่ายเทความร้อนให้กับอากาศ เพราะมีบางส่วนที่กระเซ็นออกทางด้านบนของ Cooling Tower ซึ่งมวลของน้ำส่วนนี้ไม่ได้แลกเปลี่ยนความร้อนกับอากาศทำให้อัตราการถ่ายเทความร้อนของอากาศมีค่าต่ำ
- 4.6.4 จากผลการทดลองเปรียบเทียบที่อุณหภูมิน้ำเข้าสูงคือ 42°C กับอุณหภูมิน้ำเข้าที่ 38°C และอุณหภูมิอากาศเข้ากระเปาะเปียกคงที่เท่ากับ 26°C จะเห็นว่าอัตราการถ่ายเทความร้อนของน้ำของ t_{wi} ที่ 42°C จะสูงกว่า t_{wi} ที่ 38°C เพราะผลต่างของ t_{wi} และ t_{wh} มีค่าสูงกว่า
- 4.6.5 เมื่อพิจารณากราฟระหว่างเอนทาลปีกับอุณหภูมิของน้ำ จะเห็นได้ว่าที่อุณหภูมิน้ำเข้าและอัตราการไหลของน้ำเดียวกัน แต่อัตราการไหลของอากาศต่างกัน ที่อัตราการไหลของอากาศสูงกว่าจะมีค่า Range สูงกว่า แต่ค่า Approach จะต่ำกว่าที่อัตราการไหลของอากาศที่ต่ำกว่า ดังนั้นค่า ประสิทธิภาพการถ่ายเทความร้อนของอัตราการไหลอากาศที่สูงกว่าจะมีค่าสูงกว่าที่อัตราการไหลของอากาศที่ต่ำกว่า

เนื่องจาก
$$\mathcal{E} = \text{Range} / (\text{Range} + \text{Approach})$$

แต่เมื่อเทียบที่อัตราการไหลของน้ำต่างกัน ค่าอุณหภูมิน้ำเข้าและอัตราการไหลของอากาศเดียวกัน จะเห็นได้ว่าที่อัตราการไหลของน้ำต่ำ จะมีค่า Range สูงกว่า แต่ Approach ต่ำกว่าที่อัตราการไหลของน้ำที่สูงกว่า ดังนั้นค่า ประสิทธิภาพการถ่ายเทความร้อนของอัตราการไหลของน้ำที่ต่ำกว่าจะมีค่าสูงกว่าที่อัตราการไหลของน้ำที่สูงกว่า